

宮崎大学工学部、藤本 康

## 1. まえがき

著者が、締固めた粘性土の応力緩和といフレオロジー的現象に関する研究に着手して以来すでに数年になる。その間、いわゆる力学模型によつて緩和機構の理論的考察セレオロジーオ方程式<sup>1)~4)</sup>、諸論文<sup>5)~8)</sup>及び基礎的な一軸および三軸圧縮条件下の緩和実験結果とその応用に関する若干の考察結果と逐次発表してきたが、これらは、基礎理論についてはその後なお不充分な点が部分的に認められた。本文は、この基礎理論の最終的な補正結果と未発表の三軸圧縮条件下の緩和実験資料ならびにその三軸試験への具体的な応用とに關する考察結果をまとめたものである。

## 2. 補正された緩和機構理論にしつくレオロジーオ方程式とその解

緩和機構理論の大要是従前のものと殆んど変わらないが、基本的には変形なし緩和機構に直接関する応力は有効応力と明確に規定し、レオロジーオ方程式は有効応力表示によつたが、その解は観測に便利な全応力表示によつた。部分的に

は、単位変形機械式の表示式、下限降伏値の定義、可視的マクロのすみどりミクロ弾性ひずみのうち大不可逆的な粘塑性ひずみ入との関係式、瞬間弹性変形と全応力との関係式、ひずみ定義、ひずみ速度の表示式、および粘土の構造粘性率 $\eta_c$ の定義などを多少補正した。これらの詳細は紙数の関係で省略し、ここでは新しいレオロジーオ方程式とその解だけと示すことにする。

$$\frac{d\sigma}{dt} = (1/E_{01})(d\sigma_0/dt) + (\alpha_{(t=0)}^c - \alpha_0)/\eta_c \quad \left. \right\} \quad (1)$$

$$\eta_c = (\alpha_{(t=0)}^c - \alpha_0)/2B_0(\alpha_{(t=0)}^c - \alpha_0)\sinh\left\{B(\alpha_{(t=0)}^c - \alpha_0)/(\alpha_{(t=0)}^c - \alpha_0)\right\}$$

レオロジーオ方程式(1)の応力緩和についての解は、初期ひずみ $\epsilon_0 = \text{一定とする} \rightarrow$ 式となる。

$$\alpha_{(t)} = E_{01}E_{02}/(E_{01} + E_{02})\left[\left(E_0 + \frac{\alpha_0}{E_{01}}\right) - \left(E_0 - \frac{\alpha_0}{E_{01}}\right)\frac{E_{01}}{B_0} \ln(B_0 t)\right] \quad (2)$$

式(1)と(2)において、 $B_0, B, E$ はレオロジーオ定数、 $E_{01}$ と $E_{02}$ はそれぞれ初期弾性率ならびに塑性領域における構造弾性率、 $\alpha$ は有効応力、 $t$ は時間を示す。式(2)で示される解は村山・柴田が求めた解と同形であるが、相当時間経過後の残存応力の表示式は若干異なっている。すなわち、

$$\alpha_{(t+\infty)} = \frac{E_{01}E_{02}}{E_{01} + E_{02}} \epsilon_0 + \frac{E_{01}\alpha_0}{E_{01} + E_{02}} \quad (3) \quad \text{なお、参考までにクリーパーについての解式(4)を示しておく。} \quad \alpha_{(t)} = \frac{\alpha_0}{E_{01}} + \frac{\alpha_0 - \alpha_\infty}{E_{02}} + \frac{\alpha_0 - \alpha_\infty}{B E_{02}} \ln(B_0 t) \quad (4), \quad \therefore B_0 = B_0 E_{02}, \text{である。}$$

## 3. 三軸圧縮条件下の緩和実験

実験に使用した試料土の物性を表1に示す。図-1は試料土の締固め曲線の一例である。実験装置は文献5)~7)に詳述してあるのでそちら説明は省略する。実験は、締固めた粘性土の応力緩和特性が図-1に示すように締固め曲線の乾燥側(DS)、最適含水状態(OMC)ならびに湿润側(WS)でどのように変化す

Table 1 Physical properties and clay mineral of soil samples

	Specific gravity	Grading (>50μm) <5μm)	Clay mineral	Consistency L.L.	Consistency P.I.	Activity	Compaction characters OMC max D <sub>60</sub> % mm	Compaction characters WMC max D <sub>60</sub> % mm
MANGAIC kaolin	2.69	0 %	8.0%	92.0%	Kaolinite	52.8% (6.2%)	25.6% (6.2%)	31.0% (4.2%)
Bentite	2.40	0	7.0	93.0	Montmorillonite	468.5 (5.6%)	431.8 (5.6%)	54.0 (1.0%)
IKELUCHI clay	2.72	18.3	45.1	36.6	Allophane	58.4 (0.9%)	34.4 (0.9%)	23.5 (1.5%)
ABURATSU back-fill soil	2.67	53.9	21.7	24.4	?	47.8 (0.7%)	21.5 (0.7%)	20.6 (1.6%)

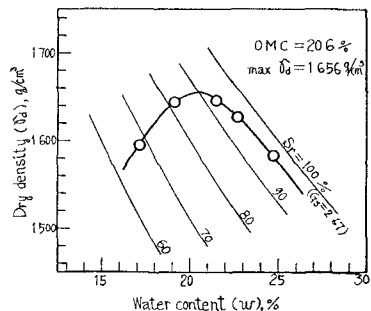


Fig 1 Compaction curve of Aburatsu back-fill soil.

するがということ、应用の一例として J.H. Schertmann の提示した CFS テストによる連続試験から、この主眼をもつて、なお、土圧の経時変化と応力緩和との関係については既に発表しておいた。前者の実験 (A) は側圧一定の非排水三軸圧縮条件下で初期ひずみ  $\epsilon_0 = 1.0\%$  を瞬間的に供試体に与え基礎的な緩和実験で、後者の実験 (E) は次のような特殊な緩和実験である。すなわち、(1) 先に各試料の非排水三軸圧縮試験 (ひずみ速度  $\dot{\epsilon} = 0.46 \text{ mm/min}$ ) を行なふ。(2) 次に、(1)と同一条件で同一物性の新鮮供試体に対して (1) で求めた応力ひずみ曲線上上で適当に選出したひずみ緩和  $\epsilon_{ro}$  まで同一の  $\dot{\epsilon}$  で变形を与え、 $\epsilon_{ro}$  を一定としてその状態で第2段階の緩和実験を行なう。この場合もが有限の値でも緩和が観測されることは既に文献 (1) で確実報告してある。(3) 第2段階の緩和が停止したら  $\epsilon_{ro} = -\epsilon_{ro}$  と  $\epsilon_0$  を所定の値だけ低下させる。この場合、供体子に伴なって供試体が破壊状態に到達するにあれば、さもなくとも同一物性の新しい供試体についてのひずみ低下量を減じて  $\epsilon_0$  を低下せしむる。(4) このひずみ低下の操作によって第2段階の緩和が観測される。以上2操作にはかなりの時間を要する。

第2段階の緩和が停止する以前にひずみ低下に伴なつて第2段階の緩和が起生すれば、それは比較的所要時間は短くなる。

三軸圧縮条件下的緩和過程における供試体内の応力状態は図-2 に示すよ

うに考えられる。ところ、実際に観測される応力は図-2 の  $P_{(t)} = \sigma_3(t) - \sigma_1(t)$  であるから、緩和の理論式としては、式 (1), (2), (3) の  $\sigma_{(t)}$  を  $P_{(t)}$  で置換したもののがそのまま採用される。

#### 4. 実験結果とその考察

応力の経時変化は、すでに文献 (1)～(9) で説明しておいたように、殆んど時間の対数 ( $\log_{10} t$ ) に対して直線的に減少し、式 (2) の妥当性は実証されている。また、緩和速度、緩和量 (あるいは緩和率) が、供試体の物性およびひずみによってかなり影響を受ける。図-3 は実験 (A) による緩和スペクトル ( $-dG_{dec}/d\log_{10} t = -d(P_{(t)}/\epsilon_0)/d\log_{10} t$ ) とひずみの関係を試料土の締固め段階——池内粘土の  $\sigma_3 = 1.5 \text{ kg/cm}^2$  で飽和度  $S_r$  をパラメーターとしてある——をパラメーターとして示したものである。図より、 $S_r = 100\%$  に近い W.S の試料の緩和スペクトルはひずみに影響されないが、不飽和試料程ひずみの影響を強く受けていることが明らかにわかる。これは試料土の圧縮性に起因するものと考えている。なお、緩和率は逆にひずみが大きくなる程低下する傾向にあった。

図-4 は実験 (E) の緩和曲線の一例で、オキナウの DS のものである。この図では、各ひずみ段階共 初期の側圧は  $\sigma_3 = 1.5 \text{ kg/cm}^2$  で、第2段階の緩和は  $\epsilon_{ro} = 0.5\%$ 、 $\epsilon_{ro} = 1.0\%$  ではひずみを  $1.0 \text{ kg/cm}^2$  低下している。 $\epsilon_{ro} = 2.0\%$  ではひずみを  $1.0 \text{ kg/cm}^2 \sim 0.5 \text{ kg/cm}^2$  低下するとひずみ低下段階で破壊に到達したため、低下量を  $0.25 \text{ kg/cm}^2$  に抑えている。図-5 はベントナイト (DS) の実験 (E) の非排水三軸試験による破壊時のモールの応力図 (a) と、所定のひずみ段階  $\epsilon_{ro}$  における第1、第2段階の緩和過程の初期応力と残存応力を示したもの (b)～(e) である。図中の (b)～(e) における failure line (は (a) の failure line を示し、モール角、 $M_{rs}$ 、 $M_{rc}$  は第1段階の緩和開始時ならびに第2段階の緩和停止時の応力状態を、また  $M_{rs2}$ 、

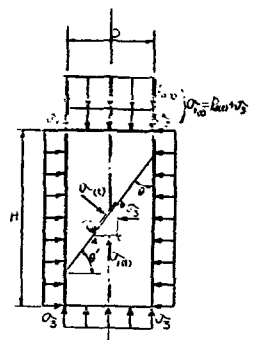


Fig. 2. Stresses on the plane inclined at any angle  $\theta$  to the axis of specimen under tri-axial compression.

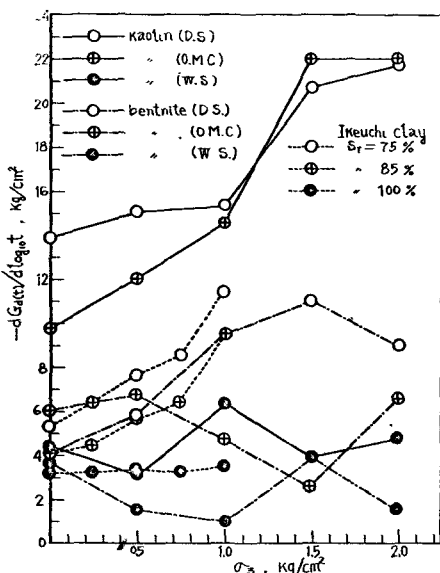


Fig. 3. Relation between relaxation spectrum ( $-dG_{dec}/d\log_{10} t$ ) and cell pressure ( $\sigma_3$ ).

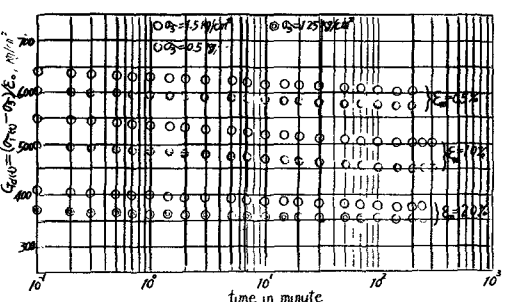


Fig. 4. Relaxation curves of KANPAKU kaolin by means of test series (D.S.)

Mrs. は今低下に伴なつた2段階の緩和荷重時からひずみ増加停止時の応力状態とそれそれを表わす。また、鉛線および実験で示したモルタルは、それぞれ、(a)回目、(b)回目の今低下時の応力円と(b)では(1)回の今低下(1.0 kg/cm<sup>2</sup>)でその2段階に到達していることがわかる。一般に、圧縮ひずみの段階、つまり、 $\epsilon_{ro}$ の大さいところでは今低下量を小さくする必要がある。 $\phi_{ur}$ ,  $C_{ut}$ ,  $M_{rs}$ ,  $M_{rc}$ のエンビロープの傾斜角として軸のインターフェースである。このエンビロープは、後述するが、モルタル段階におけるせん断抵抗を表示しているものと考える。図6は図5に例示した  $\phi_{ur}$  と  $C_{ut}$  および通常の三軸試験による  $\phi_{rc}$  と  $C_{rc}$  と締固め段階毎に  $\epsilon_{ro}$  に対してプロットしたものである。ただし、図6の試料は油津裏込である。

図5で普通的に指摘できることは、今低下に伴なう主応力差  $P_{(t)}$  の変動——この場合は  $P_{(t)}$  が増大しているが、文献7, 8)で既報のよう、今も増大するところに  $P_{(t)}$  は減少する。——である。実験(E)で、いま  $\epsilon_{ro}$  を例えば1.0 kg/cm<sup>2</sup> あるいは0.5 kg/cm<sup>2</sup> 低下すると、 $\sigma_{(t)}$  にも大きな変化がない状態ではその範圍内モルタルは図5の実線で示されるモルタルであり、 $P_{(t)}$  は当然今低下だけ大きくなるはずである。しかしながら、実際の観測ではそのようにはならず、計算された  $P_{(t)S} = \phi_{rc} \sigma_3$  は M.R.C. の  $P_{(t)C}$  より幾らか大きくなる程度であった。

この今低下に対する  $P_{(t)}$  の変化は次のように考えられる。すなわち、いま1段階の緩和が停止した時刻における軸方向主応力、 $\sigma_{(t)C} = P_{(t)C} + \sigma_3$  が  $\sigma_{(t)}$  の変動応じて、 $\sigma_{(t)S} = P_{(t)S} + (\sigma_3 \pm \Delta\sigma_3)$  へ変化したことると、 $P_{(t)S}$  は、

$$P_{(t)S} = [\sigma_{(t)S} - \sigma_3] \mp \Delta\sigma_3 \quad \dots \dots \dots (a)$$

一方、今変動前の主応力差は、 $P_{(t)C} = \sigma_{(t)C} - \sigma_3$ 、であるから、 $P_{(t)S}$  と  $P_{(t)C}$ との間に、

$$\Delta P_{(t)} = P_{(t)S} - P_{(t)C} = [\sigma_{(t)S} - \sigma_{(t)C}] \mp \Delta\sigma_3 \quad \dots \dots \dots (5)$$

なる差が生ずることになる。ここで、 $\sigma_{(t)S}$  は今低下後の2段階の緩和が用意する2つの軸応力であるから常に、 $\sigma_{(t)S} < \sigma_{(t)C}$  なる関係にあるので、 $[\sigma_{(t)S} - \sigma_{(t)C}]$  は常に負の値となる。すなわち、 $[\sigma_{(t)S} - \sigma_{(t)C}] = -\Delta P_{(t)}$  である。したがって、今低下に応じて  $P_{(t)S}$  が必ず増加するとは限らず、 $P_{(t)S}$  が増加するのは  $|\Delta P_{(t)}| > \Delta\sigma_3$  より大きいとき、つまり、 $|\Delta P_{(t)}| < \Delta\sigma_3$  のとき関係が成立するときだけである。逆に、今增加の場合には  $|\Delta P_{(t)}| > \Delta\sigma_3$  のとき関係にあるときは、今が増減しても  $P_{(t)S}$  は変化しないことになる。以上のことは既報の土圧の経時変化の説明一つの根據となる。<sup>8), 9)</sup>

図6は上述のように図5の  $\phi_{ur}$ ,  $C_{ut}$  から  $\phi_{ut}$ ,  $C_{ut}$  と  $\epsilon_{ro}$  に対してプロットしたもののうちで、他の試料もすべて同様の傾向を示している。図6から、飽和状態に近づくT.S.の  $\phi_{ut}$  は、圧縮段階にわたって殆ど一定の値を保つことになりというここと、D.S. ならびに O.M.C. の  $\phi_{ut}$  は、圧縮変形がすむにしたがって  $\phi_{ut}$  に近づき、 $C_{ut}$  は、いずれも、圧縮段階の比較的小いところで  $C_{ut}$  に近い値となる、ということが指摘できる。

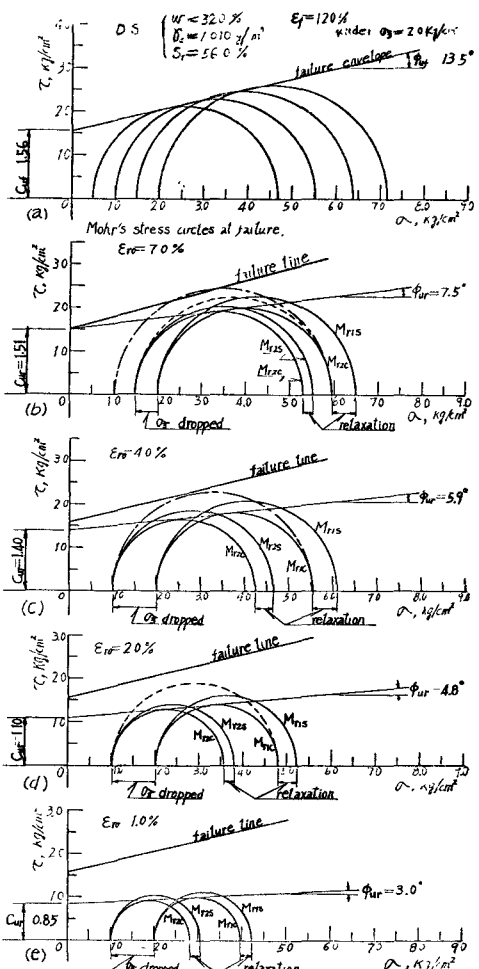


Fig. 5. Stress variation represented by Mohr's stress diagram in process of the relaxation with  $\sigma_3$  dropping of bentite by means of test series E. (D.S.)

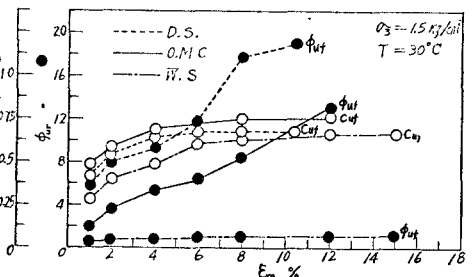


Fig. 6. Relation between the cohesion and the friction components and the strain of ABURATSU-backfill soil obtained by means of test series (E).

## 5. 緩和実験(E)の応用.

実験(E)の方法は、既述のように、J.H.Schmertmann<sup>(10)-(12)</sup>が提案した。以下にそのF.S.テスト(Cohesion-Friction-Strain Test)——文献(12)によるとIDS(Independent and Dependent Effective Components at any Strain Test)——と呼称している——に類似の方満たして、三軸試験によるせん断抵抗率を分離する方法である。

モヒヤビーションの検討、さらに、通常の三軸試験では少なくとも同一物性の供試体が3~4本必要となるところを1本の供試体としてせん断抵抗率を推定可能という实用性を有している。SchmertmannのIDSテストとは次のような方法である。

すなはち、1本の供試体について三軸試験の軸方向圧縮変形の過程で、送定した高低2種の荷重応力 $\sigma_1$ が常に一定値を保つように間隙水压をコントロールし、種々のせん断角( $\phi'$ )における高低2種の荷重に対する応力のせん断曲線を求める。次に、図-8(a)示すように横軸に $(\sigma_1 - \sigma_3)/2$ と、横軸長さ $a$ とて、これに各せん断角 $\phi'$ における応力をプロットする。ここで、図-7について、粘土の破壊標準を用いてCoulomb-Hvorslevの式、 $C_E = C_0 + \phi' \tan \phi'_E$ は変形過程において常に同じせん断角におけるせん断抵抗率を示すものとして成立すると仮定し、図-7から、 $\phi'_E = (\sigma_1' - \sigma_3') \cos \phi'_E / 2$  --- (9)、 $\phi'_E = \phi'_1 + \frac{\phi'_1 - \phi'_2}{2} - \frac{\phi'_1 - \phi'_2}{2} \sin \phi'_E$  --- (10)、を求め、式(9)、(10)を

Coulomb-Hvorslevの式に代入して

$$\frac{\phi'_1 - \phi'_2}{2} = \frac{\sin \phi'_E}{1 - \sin \phi'_E} \phi'_1 + C_E \frac{\cos \phi'_E}{1 - \sin \phi'_E} \quad \text{--- (11)}$$

を求むこととする。式(11)は図-8(a)において、傾斜角 $m = \frac{\sin \phi'_E}{1 - \sin \phi'_E}$ ;  $1 - \eta - \epsilon \tau \alpha$ ,  $b = C_E \frac{\cos \phi'_E}{1 - \sin \phi'_E}$ 、もしく直線1~2を表わす。したがって、直線1~2が図-8(b)のよう実験的データによっては任意のEにおける $\phi'_E$ と $C_E$ の値が次式で求められる。

$$\phi'_E = \sin^{-1}(a/(a+d)), \quad C_E = b(1 - \sin \phi'_E) / \cos \phi'_E \quad \text{--- (12)}$$

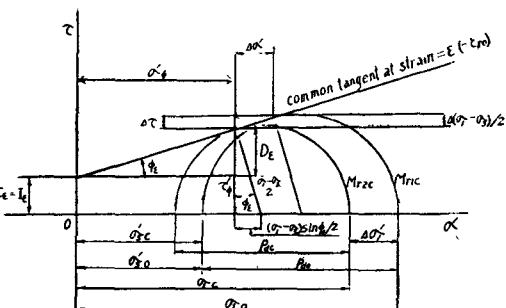


Fig. 7. Separation of generalized components, illustrated for plane of envelope tangency in a triaxial test. By Schmertmann, J.H., 1964.

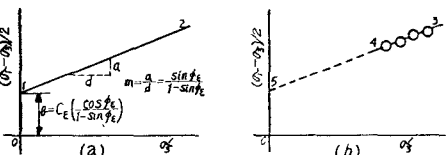


Fig. 8. Illustration for computing "Cohesion" and "Friction" parameters. By Schmertmann, J.H. and Osterberg, 1960

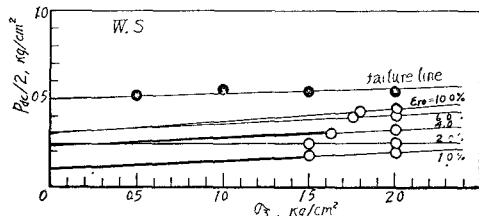


Fig. 9. (c) Graph for extrapolation of R.C.F.S.-test of bentonite by means of test series E

図9は、二考定方実験(E)の結果に応用したもので、ヘンタイ(W.S) Table 2. (a) Comparison of  $\phi'_E$ ,  $C_E$  and  $\phi'_1$ ,  $C_{rc}$  of kaolinite.

$E_R$ (%)	$a$ ( $\text{kg}/\text{cm}^2$ )	$b$ ( $\text{kg}/\text{cm}^2$ )	$d$ ( $\text{kg}/\text{cm}^2$ )	$\phi'_E$ (°)	$\phi'_1$ (°)	$C_E$ ( $\text{kg}/\text{cm}^2$ )	$C_{rc}$ ( $\text{kg}/\text{cm}^2$ )	Cur remains
0.5	0.10	1.53	1.00	5.3	4.5	1.260	1.290	D S
1.0	0.16	2.25	-	7.9	6.5	1.957	1.930	-
1.5	0.47	2.81	-	13.6	16.0	2.018	2.239	-
2.0	0.50	3.10	-	19.4	17.3	2.190	2.370	-
3.0	0.69	3.43	-	24.1	21.0	2.221	2.450	at failure
0.5	0.04	1.55	1.00	2.2	1.5	1.492	1.540	0 M C
1.0	0.10	2.10	-	5.3	4.0	1.917	2.060	-
2.0	0.12	2.75	-	6.2	5.0	2.470	2.590	-
3.5	0.13	3.28	-	6.6	6.0	2.720	3.000	-
5.0	0.40	3.18	-	16.6	8.0	2.370	3.050	-
6.0	0.30	3.90	-	13.4	14.0	3.080	3.100	at failure
1.0	0.11	0.50	1.00	5.8	7.0	0.453	0.450	N S
2.0	0.16	0.66	-	7.9	-	0.514	0.630	-
4.0	0.15	1.00	-	7.5	-	0.878	0.900	-
6.0	0.20	1.28	-	9.6	-	1.082	1.250	-
8.0	0.31	1.36	-	13.7	-	1.067	1.630	-
10.0	0.18	1.79	-	8.8	-	1.535	1.600	at failure

ついた。また、研究終盤の一時期は大阪府立大学院(現大阪府立大学)にて、地すべりの予知とその防災対策に関する研究の一環として、大阪工大(現第三教授)にて付託して謝意を表す。参考文献

- (1) 内田義泰:「粘土の応力緩和の特徴」(1974年参考), 第3号, Vol. 12, No. 16, 38-5
- (2) H.Fujimoto: "The Molecular or Particular Theory on the Stress Relaxation of Clay and its Application to Model Analysis", 第14回土壤統計学講演会, No. 12, 40-3.
- (3) H.Fujimoto: "The Theoretical Research on the Stress Relaxation of Clay by Thermodynamics and Statistical Mechanics, Rheology and Soil Mechanics", I.U.T.A.M (Springer Verlag), 1966-4.
- (4) 藤本慶: 「流動土の粘土力学的性質と応力緩和率」(1973), 『土木年報』, 第19号, 40-7.
- (5) 藤本慶: 「土木学会論文集」No. 119, 40-7.
- (6) 藤本慶: 「12回日本粘土学会年次学術講演会論文集」(1973), 『土木年報』, 第20号, 40-5.
- (7) H.E.Schmertmann: "Shear Strength of Cohesive Soils", A.S.C.E. Proc. P.P. 64-3, 1964.
- (8) H.E.Schmertmann: "Shear Strength of Cohesive Soils", A.S.C.E. Proc. V. 88, No. 5, Dec. 1962.
- (9) "Laboratory Shear Testing of Soils", ASTM D 3037-73, 1973.
- (10) "Laboratory Shear Testing of Soils", ASTM D 3037-73, 1973.